

1. 概要
2. Lasso の考え方
3. 実データの結果
4. シミュレーション結果
5. まとめ

論文紹介

nanimonaiyo

山本 藤也 (Touya Yamamoto)
u220067@st.pu-toyama.ac.jp

富山県立大学 情報システム工学科

December 12, 2025

1. 概要
2. Lasso の考え方
3. 実データの結果
4. シミュレーション結果
5. まとめ

対象論文

- Regression Shrinkage and Selection via the Lasso
- Robert Tibshirani, JRSS B, 1996

この論文がやっていること

- 回帰モデルで予測精度を保つつつ、不要な変数を自動で 0 にする方法を提案する。
- その方法を Lasso (Least Absolute Shrinkage and Selection Operator) と呼ぶ。

1. 概要
2. Lasso の考え方
3. 実データの結果
4. シミュレーション結果
5. まとめ

通常の回帰（最小二乗法）

- モデル：

$$y = X\beta + \varepsilon$$

- 推定：

$$\hat{\beta}^{\text{OLS}} = \arg \min_{\beta} \|y - X\beta\|_2^2$$

問題点

- 説明変数が多いと分散が大きくなり予測が不安定になる。
- すべての変数に係数が付くためどの変数が重要な分かりにくい。

1. 概要
2. Lasso の考え方
3. 実データの結果
4. シミュレーション結果
5. まとめ

L1 正則化付き回帰

- Lasso は次の問題を解く：

$$\hat{\beta}^{\text{lasso}} = \arg \min_{\beta} \left\{ \frac{1}{2} \|y - X\beta\|_2^2 + \lambda \sum_{j=1}^p |\beta_j| \right\}$$

- λ が大きいほど $\sum_j |\beta_j|$ のペナルティが強くなり、係数が 0 に近づく。

Lasso の特徴

5/13

特徴

- 一部の係数を 0 にする ため、重要な変数だけ残る。
- Subset selection より連続的で安定であり、Ridge 回帰よりスパースになる。

1. 概要
2. Lasso の考え方
3. 実データの結果
4. シミュレーション結果
5. まとめ

直交デザインの場合の解

1. 概要
2. Lasso の考え方
3. 実データの結果
4. シミュレーション結果
5. まとめ

- $X^\top X = I$ のとき、Lasso の解は

$$\hat{\beta}_j^{\text{lasso}} = \text{sign}\left(\hat{\beta}_j^{\text{LS}}\right) \left(|\hat{\beta}_j^{\text{LS}}| - \lambda\right)_+$$

- $|\hat{\beta}_j^{\text{LS}}| \leq \lambda$ なら $\hat{\beta}_j^{\text{lasso}} = 0$ 。

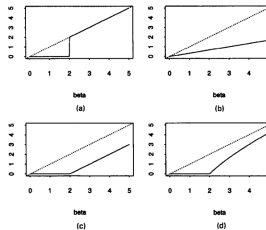


図 1: 4 手法 (Subset • Ridge • Lasso • Garotte) の縮小挙動

L1 と L2 の違い

1. 概要
2. Lasso の考え方
3. 実データの結果
4. シミュレーション結果
5. まとめ

- Ridge : $\sum_j \beta_j^2 \leq c$ (円形の制約領域)
- Lasso : $\sum_j |\beta_j| \leq t$ (ひし形の制約領域)
- 等高線と制約領域の最初の接点が解になる。

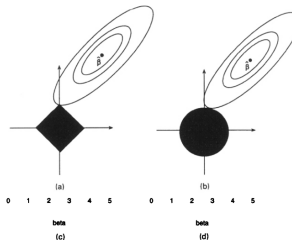


図 2: L1 L2 の制約領域と等高線

→ひし形の角が軸上にあり、係数が 0 の解を選びやすい。

データとモデル

1. 概要
2. Lasso の考え方
3. 実データの結果
4. シミュレーション結果
5. まとめ

- PSA (前立腺特異抗原) の対数を目的変数とする。
- 8 つの説明変数 (lcavol, lweight, age, ...) を標準化して回帰。

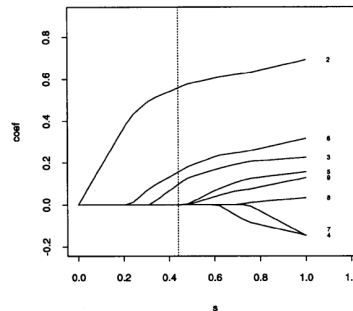


図 3: 正則化の強さによる Lasso 係数パス

1. 概要
2. Lasso の考え方
3. 実データの結果
4. シミュレーション結果
5. まとめ

Lasso が選んだ変数

- GCV により非ゼロの係数は 3 つ：
 - lcavol (がん体積)
 - lweight (前立腺重量)
 - svi (精嚢浸潤)

係数の例 (Table1)

- lcavol : OLS 約 0.69 → Lasso 約 0.56
- lweight : OLS 約 0.23 → Lasso 約 0.10
- svi : OLS 約 0.32 → Lasso 約 0.16

Example 1：少数の大きな効果

10/13

設定

1. 概要
2. Lasso の考え方
3. 実データの結果
4. シミュレーション結果
5. まとめ

- 真の係数：

$$\beta = (3, 1.5, 0, 0, 2, 0, 0, 0, 0)^\top$$

- 非ゼロは 3 つだけのスパース構造。

結果 (Table 3)

- 中央 MSE の比較：

- 最小二乗 : ≈ 2.8
- 部分集合選択 : ≈ 2.4
- Lasso (GCV) : ≈ 1.9 (最良)
- Ridge : ≈ 3.2

- Lasso はスパース構造に強い。

Example 4：高次元の例

1. 概要
2. Lasso の考え方
3. 実データの結果
4. シミュレーション結果
5. まとめ

設定と結果 (Table 8)

- $N = 100, p = 40$ の高次元設定。
- Ridge が最良 (MSE 約 57.4)。
- Lasso (GCV) は MSE 約 64.9。

ここから言えること

- 多くの小さな効果が分散している場合は Ridge が有利。
- Lasso は解釈性の高いスパース解を提供。

1. 概要
2. Lasso の考え方
3. 実データの結果
4. シミュレーション結果
5. まとめ

Lasso のポイント

- Lasso は L1 正則化により係数の一部を 0 にする。
- Subset のスパース性と Ridge の安定性を両立する。
- スパース構造があるときに強い予測性能。

この論文の意義

- L1 正則化モデルの基礎を確立した重要論文。
- スパース推定という概念を統計学・機械学習に広めた。

1. 概要
2. Lasso の考え方
3. 実データの結果
4. シミュレーション結果
5. まとめ

- y : 目的変数 ($N \times 1$)
- X : 説明変数行列 ($N \times p$)
- β : 回帰係数 ($p \times 1$)
- $\hat{\beta}^{\text{LS}}$: 最小二乗推定量
- $\hat{\beta}^{\text{lasso}}$: Lasso 推定量
- λ : L1 正則化パラメータ
- $(x)_+ = \max(x, 0)$: soft-thresholding
- $\text{sign}(x)$: 符号関数